



基于 GeoGebra 和 VPython 的天体运行数值模拟^{*}

陈海涛

(云南师范大学物理与电子信息学院 云南 昆明 650500)

金惠吉

(昆明市第八中学 云南 昆明 650222)

杨秀发

(昆明市第十四中学 云南 昆明 650106)

任 鹏

(云南师范大学实验中学 云南 昆明 650031)

(收稿日期:2022-02-19)

摘 要:利用 GeoGebra 和 VPython 进行天体运动的数值模拟. 先从较为简单的牛顿的“大炮”问题入手, 基于微分方程采用欧拉法用 VPython 进行数值模拟, 接着又用 GeoGebra 解常微分方程组的指令同样成功模拟了天体的运动, 再利用类似的方法对较为复杂的问题“拉格朗日点”进一步进行了研究.

关键词:GeoGebra VPython 天体运动 拉格朗日点 数值模拟 欧拉法

2018 年 4 月教育部印发的《教育信息化 2.0 行动计划》指出, 以教育信息化支撑引领教育现代化, 是新时代我国教育发展的战略选择, 对于构建教育强国和人力资源强国具有重要意义^[1]. 2017 版最新《普通高中物理课程标准》在高中物理课程的基本理念中指出, 要通过多样化的教学方式, 利用现代信息技术, 引导学生理解物理学的本质, 增强科学探究能力^[2].

近年来, 有许多学者在利用信息技术辅助物理教学方面取得了丰硕成果. 例如, 2021 年, 文献[3]用 COMSOL 软件模拟了“磁场和磁感线”; 文献[4]用 Unity3D 软件设计和仿真了光学实验; 2020 年, 文献[5]将 LabVIEW 软件运用到了光速测定实验中等.

Python 是一种面向对象的程序设计语言, 语法简洁清晰、上手容易, 适合非专业计算机出身的物理教师学习. VPython 是建构在 Python 程序设计语言之上的一个模块, 能够方便做出三维动画且计算功能也非常强大, 很适合进行物理的仿真模拟.

GeoGebra 是一款开源、免费、易上手, 且支持 PC 端、手机端、网页端等多种渠道操作的功能强大

的软件, 无需编程功底就可以制作出很多物理情境的模拟.

1 牛顿的“大炮”

如图 1 所示, 在离地面一定高度水平抛出一物体, 当初速度小于第一宇宙速度时, 物体沿椭圆曲线 a 、 a_1 落地; 当速度为第一宇宙速度时, 物体沿圆轨道 b 运行; 当初速度介于第一宇宙速度和第二宇宙速度之间时, 物体沿椭圆轨道 c 运行; 初速度等于第二宇宙速度时, 物体沿抛物线轨道 d 离开地球, 大于第二宇宙速度时物体沿双曲线 e 离开地球.

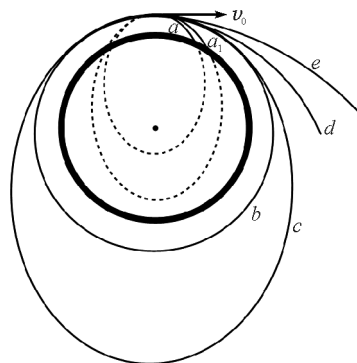


图 1 牛顿的“大炮”示意图

^{*} 云南省哲学社会科学规划教育学项目“基于 GeoGebra 的高中物理可视化教学资源开发及教学融合研究”阶段性成果, 项目编号: AD20003

为了模拟这一现象,可先由牛顿第二定律和几何关系,建立微分方程组

$$\begin{cases} v_x = \frac{dx}{dt} \\ v_y = \frac{dy}{dt} \\ r = \sqrt{x^2 + y^2} \\ a = \frac{dv}{dt} = -\frac{GM}{r^2} \\ a_x = \frac{dv_x}{dt} = -\frac{GM}{r^2} \frac{x}{r} \\ a_y = \frac{dv_y}{dt} = -\frac{GM}{r^2} \frac{y}{r} \end{cases}$$

1.1 Vpython 数值模拟方法

将上述微分方程和初始条件转化为计算机代码,基于 Vpython 库用 Python 编程如下:

```
from vpython import *
scene = canvas(width = 1200,height = 1000,
background = vector(1,1,1))
Re = 6.4 * 10 ** 6;H = 1.5 * Re;m_earth =
6 * 10 ** 24;m_satellite=1000;G=6.67 * 10 **
(-11)
# 参数设置
v0 = (G * m_earth/H) ** 0.5
T = 2 * pi * H/v0
earth = sphere(pos = vector(0,0,0),radius =
Re,texture=textures.earth,opacity=0.6) # 地球
satellite=[] # 卫星
for i in range(5,18,1):
    satellite.append(sphere(pos=vector(0,
H,0),v=vector(0.1 * i * v0,0,0),radius =
0.09 * Re,a=vector(0,0,0),color=color.
red,make_trail = 1) )
t=0;dt=0.01
while t <= T:
    t = t + dt
    rate(10000)
    for b in satellite:
        axis = earth.pos - b.pos # 计算卫星瞬
        时径向矢量
        Fn=G * m_earth * m_satellite/(mag
        (axis)) ** 2 # 计算万有引力数值大小
```

$FG = Fn * axis, norm()$ # 计算万有引力矢量

$b. a = FG/m_satellite$ # 计算卫星加速度矢量

$b. v += b. a * dt$ # 计算卫星速度矢量

$b. pos += b. v * dt$ # 计算卫星位置矢量
运行效果如图 2 所示.

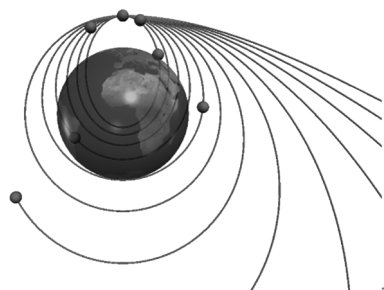
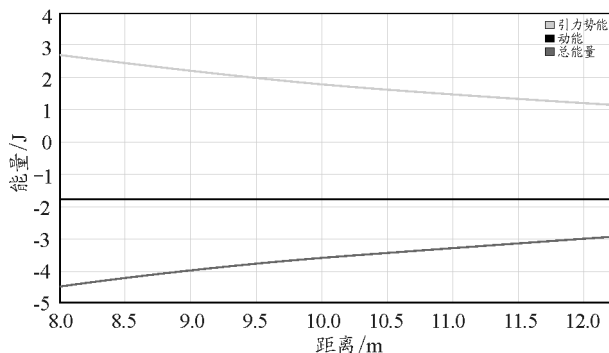


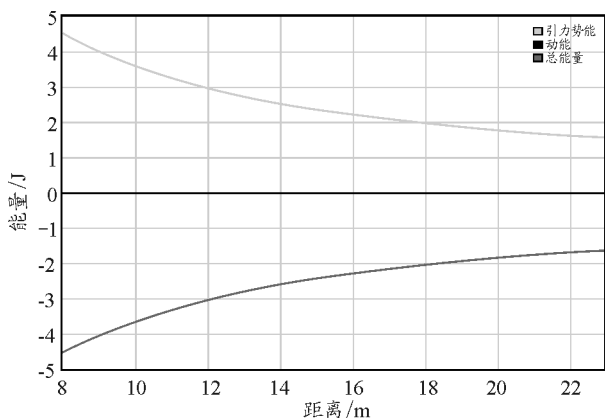
图 2 Python 运行效果图

接着还可以使用 Vpython 中的绘图语句实时绘制各卫星在轨道上的能量变化情况,如图 3 ~ 5 所示.



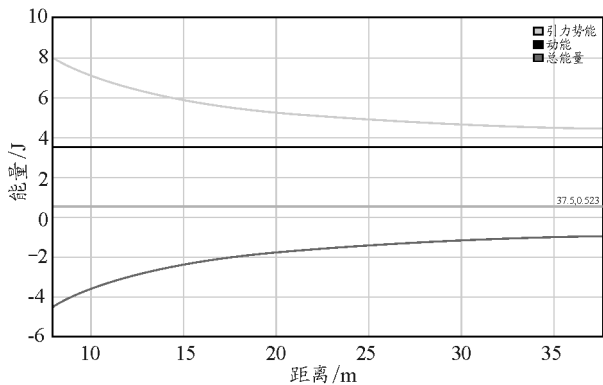
(从上到下依次表示“动能-距离”“总能量-距离”以及“引力势能-距离”曲线)

图 3 卫星在椭圆轨道运行时的能量变化情况



(从上到下依次表示“动能-距离”“总能量-距离”以及“引力势能-距离”曲线)

图 4 卫星在抛物线轨道上运行时的能量变化情况



(从上到下依次表示“动能-距离”“总能量-距离”以及“引力势能-距离”曲线)

图5 卫星在双曲线轨道上运行时的能量变化情况

1.2 GeoGebra 数值模拟方法

在 GeoGebra 中,无需编程,基于解常微分方程组的指令,仅需要非常简单的步骤就可以模拟天体运动.

首先在 GeoGebra 代数区中定义参数滑动条,为方便起见,可设 $G=1, M=10, m=1$, 环绕天体初始位置的横坐标 $x_{\{01\}}=10$, 纵坐标 $y_{\{01\}}=0$, 初速度水平分量 $v_{\{x01\}}=0$, 竖直分量 $v_{\{y01\}}=1$, 接着根据微分方程分别输入

$$v_{x_1}'(t, x_1, y_1, v_{x_1}, v_{y_1}) = -GM \frac{x_1}{(x_1^2 + y_1^2)^{\frac{3}{2}}}$$

$$v_{y_1}'(t, x_1, y_1, v_{x_1}, v_{y_1}) = -GM \frac{y_1}{(x_1^2 + y_1^2)^{\frac{3}{2}}}$$

$$x_1'(t, x_1, y_1, v_{x_1}, v_{y_1}) = v_{x_1}$$

$$y_1'(t, x_1, y_1, v_{x_1}, v_{y_1}) = v_{y_1}$$

再根据 GeoGebra 的解常微分方程组指令输入“NSolveODE($\{x_{\{1\}}', y_{\{1\}}', v_{\{x1\}}', v_{\{y1\}}'\}, 0, \{x_{\{01\}}, y_{\{01\}}, v_{\{x01\}}, v_{\{y01\}}\}, 1000)$ ”, 直接输入后, 软件会自动分别给出“ $x_{\{1\}}-t$ ”“ $y_{\{1\}}-t$ ”“ $v_{\{x1\}}-t$ ”“ $v_{\{y1\}}-t$ ”图像, 自动命名为“numericalIntegral1、numericalIntegral1_{2}、numericalIntegral1_{3}、numericalIntegral1_{4}”. 指令中第一部分是导数列表, 第二部分的“0”为 t 的初始值, 第三部分分别是 $t=0$ 时的“ $x_{\{1\}}$ ”“ $y_{\{1\}}$ ”“ $v_{\{x1\}}$ ”和“ $v_{\{y1\}}$ ”的值, 第四部分的 1000 为 t 的末值. 再输入“len=length(numericalIntegral1)”, 给出构成图像的点

的数目; 输入“ $t'=Slider(0, 1, 1/len)$ ”, 其中“ $1/len$ ”为增量, 这样 t' 每次增加都会对应于 numericalIntegral1 中的下一个点. 接着设中心天体所在位置“ $A=(0,0)$ ”, 为了得到环绕天体的位置, 先输入“ $B=Point(numericalIntegral1, t')$ ”, 得到“ $(t, x_{\{1\}})$ ”点, 该描点指令中第二个 t' 是路径值, 取值在 $0 \sim 1$ 之间, 决定了取值在 numericalIntegral1 中的相应位置, 例如若取“0”则为第一个点, “1”则为最后一个点, “ $1/len$ ”则为第二个点. 再输入“ $C=Point(numericalIntegral1_{\{2\}}, t')$ ”得到“ $(t, y_{\{1\}})$ ”点, 输入“ $D=(y(B), y(C))$ ”即可得到环绕天体位置坐标. 最后, 启动 t' 动画即可观察到环绕天体的运动, t' 乘上 1000 即为真实时间 t .

改变不同的环绕天体初速度大小即可观察到如图 6~8 所示的轨迹图, 可以发现当初速度正好等于临界速度 1 时, 轨迹的确是一个圆且环绕一周用时和理论计算是一致的, 当初速度大小为 1.3 时, 可以观察到轨迹的确是一个椭圆, 且环绕一周大约用了 364 s, 当初速度大小为 2.7 m/s, 即大于第二宇宙速度时, 可以观察到环绕天体脱离地球的束缚.

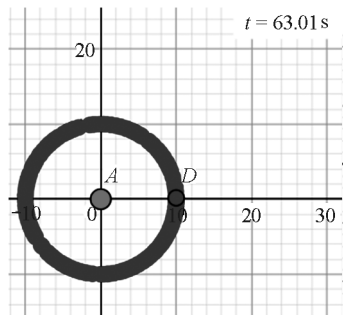


图6 设置“ $v_{\{y01\}}=1$ ”时

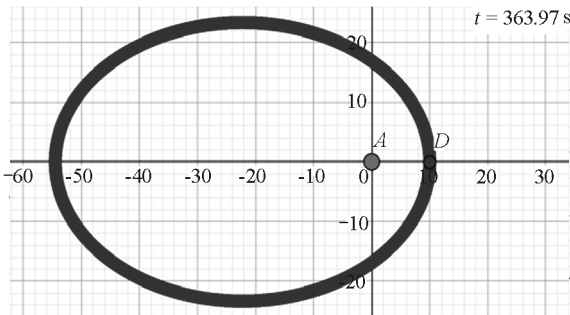
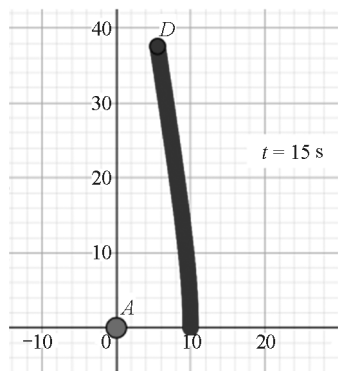
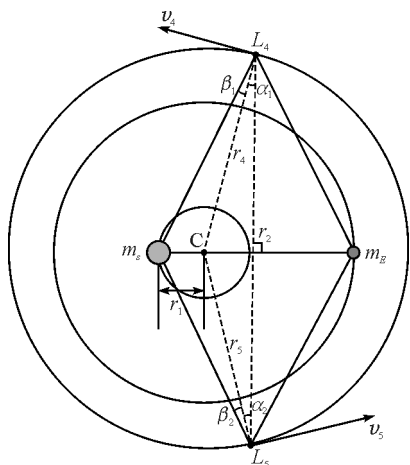


图7 设置“ $v_{\{y01\}}=1.3$ ”时

图 8 设置“v_{y01} = 2.7”时

2 拉格朗日点

为了展示出“太阳-地球”双星系统的运行情况,可设 $G=6.67$, 太阳质量 m_s 为 100, 地球质量 m_e 为 30, 卫星质量为 m , 太阳到质心 C 的距离为 6, 质心 C 位于原点. 根据质心公式即可计算出地球到质心 C 的距离为 20. 根据理论易推导出 L_4 和 L_5 与太阳和地球的位置严格构成等边三角形的关系^[6~8], 如图 9 所示.

图 9 L_4 和 L_5 拉格朗日点示意图

根据牛顿第二定律和对称性即可得出各天体的微分方程

$$\begin{aligned}\ddot{\mathbf{r}}_{m_s} &= -Gm_e \frac{\mathbf{r}_1 - \mathbf{r}_2}{|\mathbf{r}_1 - \mathbf{r}_2|^3} - \\ &Gm_4 \frac{\mathbf{r}_1 - \mathbf{r}_4}{|\mathbf{r}_1 - \mathbf{r}_4|^3} - Gm_5 \frac{\mathbf{r}_1 - \mathbf{r}_5}{|\mathbf{r}_1 - \mathbf{r}_5|^3} \\ \ddot{\mathbf{r}}_{m_e} &= -Gm_s \frac{\mathbf{r}_2 - \mathbf{r}_1}{|\mathbf{r}_2 - \mathbf{r}_1|^3} - \\ &Gm_4 \frac{\mathbf{r}_2 - \mathbf{r}_4}{|\mathbf{r}_2 - \mathbf{r}_4|^3} - Gm_5 \frac{\mathbf{r}_2 - \mathbf{r}_5}{|\mathbf{r}_2 - \mathbf{r}_5|^3} \\ \ddot{\mathbf{r}}_{m_4} &= -Gm_s \frac{\mathbf{r}_4 - \mathbf{r}_1}{|\mathbf{r}_4 - \mathbf{r}_1|^3} -\end{aligned}$$

$$\begin{aligned}&Gm_e \frac{\mathbf{r}_4 - \mathbf{r}_2}{|\mathbf{r}_4 - \mathbf{r}_2|^3} - Gm_5 \frac{\mathbf{r}_4 - \mathbf{r}_5}{|\mathbf{r}_4 - \mathbf{r}_5|^3} \\ \ddot{\mathbf{r}}_{m_5} &= -Gm_s \frac{\mathbf{r}_5 - \mathbf{r}_1}{|\mathbf{r}_5 - \mathbf{r}_1|^3} - \\ &Gm_e \frac{\mathbf{r}_5 - \mathbf{r}_2}{|\mathbf{r}_5 - \mathbf{r}_2|^3} - Gm_4 \frac{\mathbf{r}_5 - \mathbf{r}_4}{|\mathbf{r}_5 - \mathbf{r}_4|^3}\end{aligned}$$

2.1 Vpython 数值模拟方法

将拉格朗日点的数学模型和初始参数转化为计算机代码, 基于 Vpython 库用 Python 编程如下 (部分代码):

```
t=0;dt=0.001;m_earth=30;m_sun=100;
G=6.67 # 设置参数
earth=sphere(pos=vector(20,0,0),radius=
1,texture=textures.earth,make_trail=1)# 地球
sun=sphere(pos=vector(-6,0,0),radius=
2,color=color.red,make_trail=1)# 太阳
x0=sphere(pos=vector(0,0,0),radius=0.1,
color=color.red)# 质心
r=26;r1=20;r2=6;Fn=G*m_earth*m_
sun/(r**2);w=sqrt((G*(m_earth+m_sun))/
(r**3));period=2*pi/w
earth_v0=(G*m_sun*r1/(r**2))*
0.5;earth.v=vector(0,earth_v0,0)
sun_v0=(G*m_earth*r2/(r**2))*
0.5;sun.v=vector(0,-sun_v0,0)
m_prober4=1;prober4=sphere(pos=
vector(r*cos(pi/3)-6,r*sin(pi/3),0),radius=
0.5,color=color.red,make_trail=1)
r4=sqrt(r2**2+r**2-2*r2*r*
cos(pi/3));cos_beta=(26**2+r4**2-
r2**2)/(2*26*r4)
beta1=acos(cos_beta);alpha1=(pi/6-beta1);v4_0=
w*(r4)
v4=vector(-v4_0*cos(alpha1),v4_0*sin(alpha1),0)
m_prober5=1;prober5=sphere(pos=
vector(r*cos(pi/3)-6,-r*sin(pi/3),0),radius=
0.5,color=color.red,make_trail=1)
r5=sqrt(r2**2+r**2-2*r2*r*
cos(pi/3));cos_beta=(26**2+r5**2-
r2**2)/(2*26*r5)
beta2=acos(cos_beta);alpha2=(pi/6-beta2);v5_0=
w*(r5)
```

$v5 = \text{vector}(v5_0 * \cos(\alpha2), v5_0 * \sin(\alpha2), 0)$

运行结果如图 10 所示.

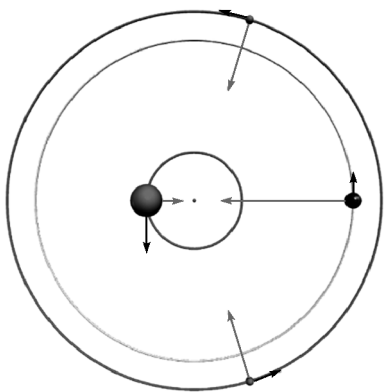


图 10 L_4 和 L_5 拉格朗日点 Python 模拟效果图

2.2 GeoGebra 数值模拟方法

在 GeoGebra 中,类似地,基于解常微分方程组的指令,无需编程就可模拟出两卫星分别处在拉格朗日点 L_4 和 L_5 时太阳、地球以及两卫星的运动.

首先在 GeoGebra 代数区中定义参数滑动条,为方便起见,可设 $G=6.67$,太阳质量 $m_1=100$,地球质量 $m_2=30$,两卫星质量由于远远小于地球和太阳质量,不妨分别设为 $m_3=0, m_4=0$,接着,若让质心处在原点 $(0,0)$ 处,则根据理论推导易得太阳、地球、处在 L_4 位置和 L_5 位置的卫星的横坐标应分别定义为:

$x_{\{10\}} = -6, x_{\{20\}} = 20, x_{\{30\}} = 7, x_{\{40\}} = 7$

纵坐标分别定义为:

$y_{\{10\}} = 0, y_{\{20\}} = 0, y_{\{30\}} = 26 \sin(\pi/3),$

$y_{\{40\}} = -26 \sin(\pi/3)$

初速度水平分量分别定义为:

$v_{\{x10\}} = 0, v_{\{x20\}} = 0, v_{\{x30\}} = -\omega r_{\{4\}}$

$\cos(\alpha), v_{\{x40\}} = \omega r_{\{4\}} \cos(\alpha)$

初速度竖直分量分别定义为:

$v_{\{y10\}} = -\sqrt{G * 30 ((6)/(26*(2)))},$

$v_{\{y20\}} = \sqrt{G * 100 ((20)/(26*(2)))}, v_{\{y30\}}$

$= \omega r_{\{4\}} \sin(\alpha), v_{\{y40\}} = \omega r_{\{4\}} \sin(\alpha).$ 其中,

$\omega = \sqrt{G ((m_1 + m_2)/((x_{\{20\}} -$

$x_{\{10\}})^3)), r_{\{4\}} = \sqrt{6*(2) + 26*(2) -$

$2 * 26 * 6 ((1)/(2))), \alpha = ((\pi)/(6)) - \cos^(-$

$1)((26*(2) + r_{\{4\}}*(2) - 6*(2))/(2 * 26 * r_{\{4\}}))$

接着根据微分方程输入

$x_1'(t, x_1, y_1, x_2, y_2, x_3, y_3, x_4, y_4, ux_1,$

$vy_1, ux_2, vy_2, ux_3, vy_3, ux_4, vy_4) = ux_1$

$y_1'(t, x_1, y_1, x_2, y_2, x_3, y_3, x_4, y_4, ux_1,$

$vy_1, ux_2, vy_2, ux_3, vy_3, ux_4, vy_4) = vy_1$

$ux_1'(t, x_1, y_1, x_2, y_2, x_3, y_3, x_4, y_4, ux_1,$

$vy_1, ux_2, vy_2, ux_3, vy_3, ux_4, vy_4) =$

$-Gm_2 \frac{x_1 - x_2}{[\sqrt{x_1 - x_2)^2 + (y_1 - y_2)^2}]^3} -$

$Gm_3 \frac{x_1 - x_3}{[\sqrt{x_1 - x_3)^2 + (y_1 - y_3)^2}]^3} -$

$Gm_4 \frac{x_1 - x_4}{[\sqrt{x_1 - x_4)^2 + (y_1 - y_4)^2}]^3}$

$vy_1'(t, x_1, y_1, x_2, y_2, x_3, y_3, x_4, y_4, ux_1,$

$vy_1, ux_2, vy_2, ux_3, vy_3, ux_4, vy_4) =$

$-Gm_2 \frac{y_1 - y_2}{[\sqrt{x_1 - x_2)^2 + (y_1 - y_2)^2}]^3} -$

$Gm_3 \frac{y_1 - y_3}{[\sqrt{x_1 - x_3)^2 + (y_1 - y_3)^2}]^3} -$

$Gm_4 \frac{y_1 - y_4}{[\sqrt{x_1 - x_4)^2 + (y_1 - y_4)^2}]^3}$

根据对称性很容易给出另外 3 个天体的微分方程,最后得到有 16 个微分方程的微分方程组.接着再输入解微分方程组指令解出 16 个微分方程:

$\text{NSolveODE}(\{x_{\{1\}}', y_{\{1\}}', x_{\{2\}}', y_{\{2\}}',$

$x_{\{3\}}', y_{\{3\}}', x_{\{4\}}', y_{\{4\}}', vx_{\{1\}}', vy_{\{1\}}',$

$vx_{\{2\}}', vy_{\{2\}}', vx_{\{3\}}', vy_{\{3\}}', vx_{\{4\}}',$

$vy_{\{4\}}'\}, 0, \{x_{\{10\}}, y_{\{10\}}, x_{\{20\}}, y_{\{20\}},$

$x_{\{30\}}, y_{\{30\}}, x_{\{40\}}, y_{\{40\}}, v_{\{x10\}},$

$v_{\{y10\}}, v_{\{x20\}}, v_{\{y20\}}, v_{\{x30\}}, v_{\{y30\}},$

$v_{\{x40\}}, v_{\{y40\}}\}, 100)$

再接着操作步骤和 1.2 中例子类似,不再赘述.

最终运行效果如图 11 所示.

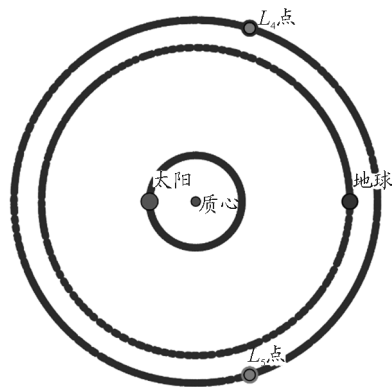


图 11 L_4 和 L_5 拉格朗日点 GeoGebra 模拟效果图

(下转第 140 页)

【例2】如图5所示,沿斜面把质量为12 kg的一个物体匀速拉到最高处,沿斜面向上的拉力 $F=100$ N,斜面长2 m,高1 m,则其机械效率是_____% ,物体所受摩擦力是_____ N. 当选用表面材质、高度均相同的斜面时,斜面越短越_____(选填“省力或“费力”),机械效率_____(选填“越高”“不变”或“越低”). (取 $g=10$ N/kg)

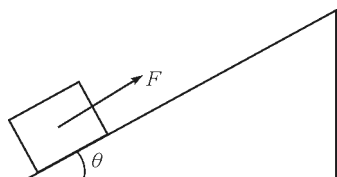


图5 例2情境图

试题分析:斜面高1 m,斜面长2 m,设斜面倾角

θ ,则 $\sin \theta=0.5$,则 θ 等于 30° ,此角度也比较小,在这种情况下,“当选用表面材质、高度均相同的斜面时,斜面越长”则倾角 θ 越小,拉力 F 将变小,符合实际.但是“当选用表面材质、高度均相同的斜面时,斜面越短越?”则倾角 θ 越大,角度有可能突破临界角,出现 F 随 θ 增大而减小的情况,故该问法不够严谨.应当修改为,“当选用表面材质、高度均相同的斜面时,斜面越长越_____?”

总之,深入探索物理试题背后的理论支撑,才能保证试题的科学性、严谨性,从而更好地发挥考试对推动教育教学改革、提高学生综合素质的作用.

参考文献

- 1 教育部关于加强初中学业水平考试命题工作的意见[Z].教基[2019]15号

(上接第137页)

3 结束语

本文用Vpython和GeoGebra分别成功模拟了牛顿的“大炮”以及拉格朗日点的运行轨迹,其中前者采用了欧拉法的数值模拟方法,后者则采用了GeoGebra模拟物理情境方面的最新技术——解常微分方程组指令,两者都通过物理情境模拟生动展示出了理论的预测结果,不仅验证了理论,同时也加深了我们对理论的理解.若将这个技术运用到物理的教学与学习中,能够使自身以及学生更好地理解数学模型、计算机算法和相应物理现象之间的联系,提高跨学科的综合运用能力.

参考文献

- 1 教育部.教育部关于印发《教育信息化2.0行动计划》的通知[EB/OL]. (2018-04-18) [2021-12-30]. http://www.moe.gov.cn/srcsite/A16/s3342/201804/t20180425_334188.html
- 2 中华人民共和国教育部.普通高中物理课程标准[M].北京:人民教育出版社,2018
- 3 王畅,王海峰,高艳.COMSOL软件在高中物理教学中

- 的应用——以“磁场和磁感线”为例[J].物理通报,2021(2):97~99,103
- 4 赵洋洋,盛思远.基于Unity3D的物理光学实验的设计与仿真[J].物理实验,2021,41(2):49~52
- 5 冉俊霞,葛大勇,张少朋.LabVIEW在光速测定实验中的应用[J].物理通报,2020(6):86~88
- 6 周小奋.拉格朗日点探秘[J].物理教学,2012,34(3):53~54
- 7 李铁.关于天体圆轨道三体模型中拉格朗日点的讨论[J].湖南中学物理,2021,36(3):73~74,51
- 8 林辉庆.拉格朗日 L_4 点的理论验算[J].物理教师,2012,33(4):42~43
- 9 张恒谦.奇妙的拉格朗日点[J].中学物理教学参考,2011,40(10):29~30
- 10 金乐,黄天宇.用数值模拟演示地球轨道运动的研究[J].钦州学院学报,2015,30(5):45~48
- 11 Joseph Amato. Using Elementary Mechanics to Estimate the Maximum Range of ICBMs[J].The Physics Teacher, 2018,56(4)
- 12 张继春.Python编程与3D物理学仿真[M].北京:电子工业出版社,2021